

Ежегодная международная научно-практическая конференция  
«РусКрипто'2020»

# Построение атаки на основе инвариантных подпространств для XSL-алгоритмов блочного шифрования на основе 3D подхода

Коновалов Никита,  
студент 2-го курса магистратуры НИЯУ «МИФИ»

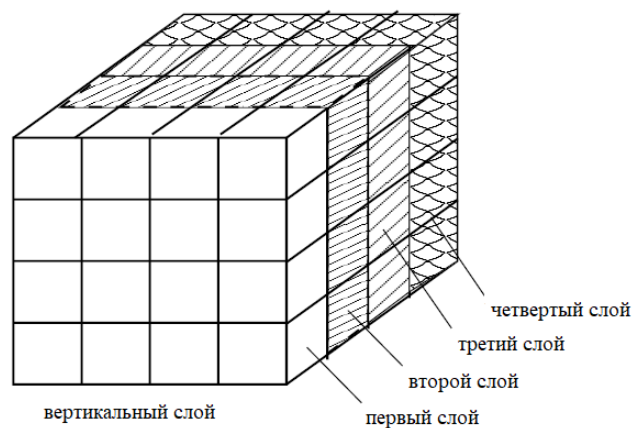
# Квазиинволютивный XSL-алгоритм блочного шифрования «CUBE»

Трехмерное представление информационного блока:

$$a = (a_0, \dots, a_{63}), a_i \in GF(2), i \in \overline{0, 63}$$

$$a^{(j)} = \{b_j \mid b \in GF(2^{16})\}, j \in (0, 1, 2, 3)$$

$$\left( \begin{array}{cccc|cccc|cccc|cccc} a_0 & a_4 & a_8 & a_{12} & a_{16} & a_{20} & a_{24} & a_{28} & a_{32} & a_{36} & a_{40} & a_{44} & a_{48} & a_{52} & a_{56} & a_{60} \\ a_1 & a_5 & a_9 & a_{13} & a_{17} & a_{21} & a_{25} & a_{29} & a_{33} & a_{37} & a_{41} & a_{45} & a_{49} & a_{53} & a_{57} & a_{61} \\ a_2 & a_6 & a_{10} & a_{14} & a_{18} & a_{22} & a_{26} & a_{30} & a_{34} & a_{38} & a_{42} & a_{46} & a_{50} & a_{54} & a_{58} & a_{62} \\ a_3 & a_7 & a_{11} & a_{15} & a_{19} & a_{23} & a_{27} & a_{31} & a_{35} & a_{39} & a_{43} & a_{47} & a_{51} & a_{55} & a_{59} & a_{63} \end{array} \right)$$



		48	52	56	60		
		32	36	40	44		
		16	20	24	28		
	0	4	8	12	16	20	24
0	4	8	12	16	20	24	28
1	5	9	13	17	21	25	29
2	6	10	14	18	22	26	30
3	7	11	15	19	23	27	31

# Квазиинволютивный XSL-алгоритм блочного шифрования «CUBE»

## Раундовая функция алгоритма шифрования CUBE

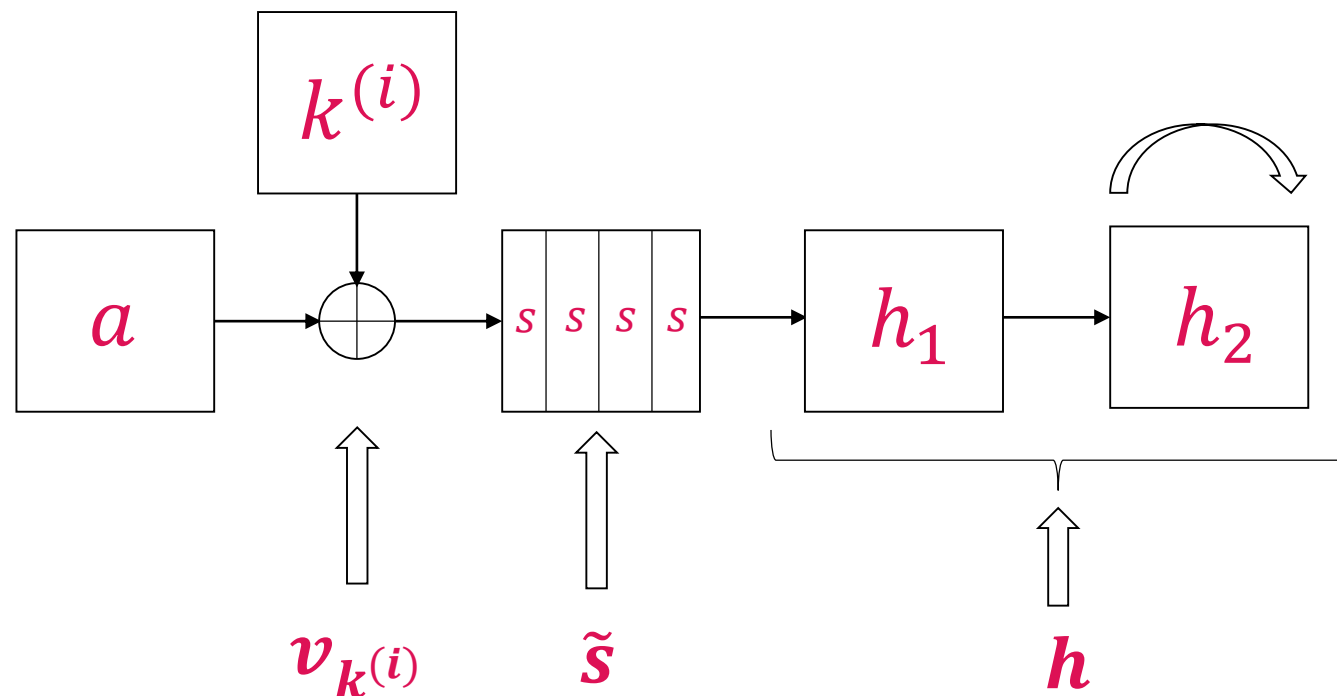
- Пусть  $V_n$  –  $n$ -мерное векторное пространство над полем  $GF(2)$ .
- Для преобразования  $b: V_n \rightarrow V_n$  положим  $a^b = b(a)$  для каждого  $a \in V_n$ .

$$g_{k^{(i)}}: a \mapsto (a \oplus k^{(i)}) \tilde{s} h$$

где  $k^{(i)}$  – 64-битный раундовый ключ  $i$ -го раунда,  $i \in \mathbb{N}$ .

- Функция шифрования для  $r$  раундов:

$$g_{k^{(0)}, k^{(1)}, \dots, k^{(r-1)}} = v_{k^{(0)}} \tilde{s} h \dots v_{k^{(r-1)}}$$



# Квазиинволютивный XSL-алгоритм блочного шифрования «CUBE»

## Алгоритм развертывания раундовых ключей

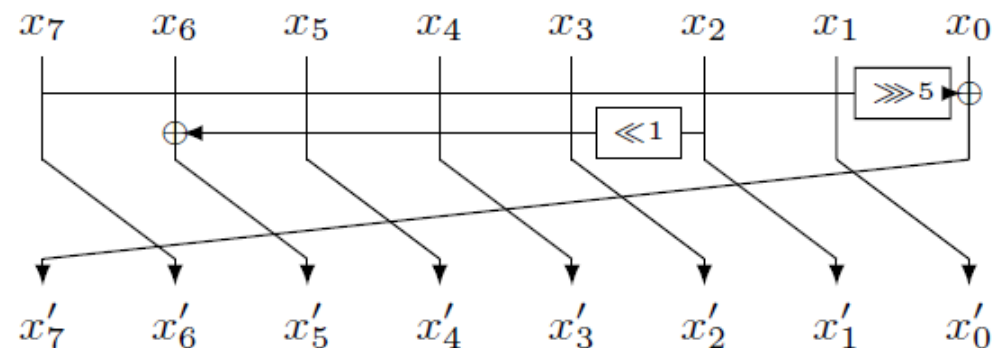
$$K = k^{(1)} \parallel k^{(0)},$$

$$k^{(i+2)} = (k^{(i+1)} * A) \oplus k^{(i)} \oplus (i + 2),$$

где  $A = B^3$ ,  $i \in \overline{0,15}$ .

$$B = \begin{pmatrix} 0 & I & 0 & 0 & 0 & 0 & 0 & 0 \\ 0 & 0 & I & 0 & 0 & 0 & 0 & 0 \\ 0 & 0 & 0 & I & 0 & 0 & 0 & 0 \\ 0 & 0 & 0 & 0 & I & 0 & 0 & 0 \\ 0 & 0 & 0 & 0 & 0 & I & 0 & 0 \\ 0 & 0 & \ll 1 & 0 & 0 & 0 & I & 0 \\ 0 & 0 & 0 & 0 & 0 & 0 & 0 & I \\ I & 0 & 0 & 0 & 0 & 0 & 0 & \gg 5 \end{pmatrix}$$

- Умножение вектора на матрицу  $(k^{(i)} * A)$  аналогично трем итерациям работы схемы,  $k^{(i)} = \{(x_0, \dots, x_7) \mid x_j \in GF(2^8)\}$ .



# Квазиинволютивный XSL-алгоритм блочного шифрования «CUBE»

## Нелинейное преобразование $\tilde{S}$

- Нелинейное преобразование  $\tilde{S}$  инволютивно ( $\tilde{S}^2 = e$ ), реализовано путем применения к координатам вектора  $a$  подстановки  $s \in S(GF(2^4))$ :

$$\tilde{S}: (a_0, \dots, a_{15}) \mapsto (a_0^s, \dots, a_{15}^s),$$

где  $a = (a_0, \dots, a_{15}), a_i \in GF(2^4)$ .

$x$	0	1	2	3	4	5	6	7	8	9	A	B	C	D	E	F
$S(x)$	7	A	2	C	4	8	F	0	5	9	1	E	3	D	B	6

# Квазиинволютивный XSL-алгоритм блочного шифрования «CUBE»

## Линейное преобразование $h_1$

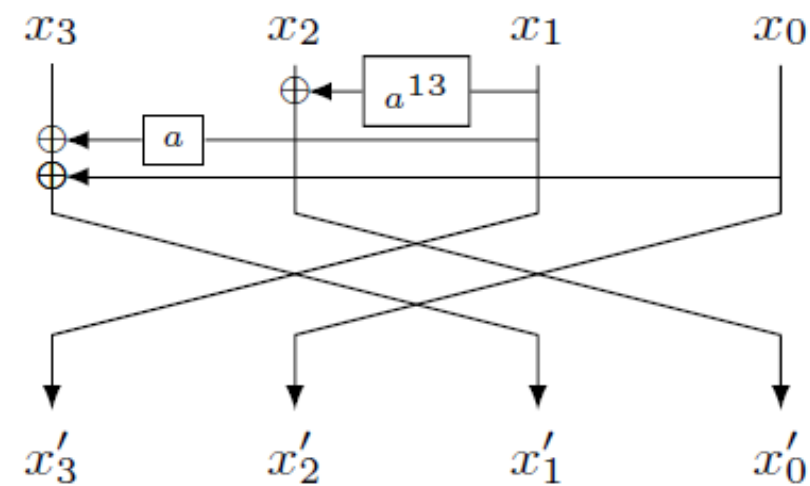
- Линейное преобразование  $h_1$  базируется на применении максимально рассеивающих матриц (MDS)  $M_a$  и  $M_{a^{13}}$  и реализовано в виде четырех итераций схемы (справа):

$$h_1: a_i \mapsto a_i^{h_1},$$

где  $a = (a_0, \dots, a_3)$ ,  $a_i \in GF(2^{16})$ ,  $a_i = \{(x_0, \dots, x_3) \mid x_j \in GF(2^4)\}$ .

- Блоки  $[a]$  и  $[a^{13}]$  обозначают умножение вектора  $x_j$  на матрицы  $M_a$  и  $M_{a^{13}}$  соответственно.

$$M_{a^{13}} = \begin{pmatrix} 1 & 0 & 1 & 1 \\ 1 & 0 & 0 & 1 \\ 1 & 0 & 0 & 0 \\ 0 & 1 & 0 & 0 \end{pmatrix} \quad M_a = \begin{pmatrix} 0 & 1 & 0 & 0 \\ 0 & 0 & 1 & 0 \\ 0 & 0 & 0 & 1 \\ 1 & 1 & 0 & 0 \end{pmatrix}$$

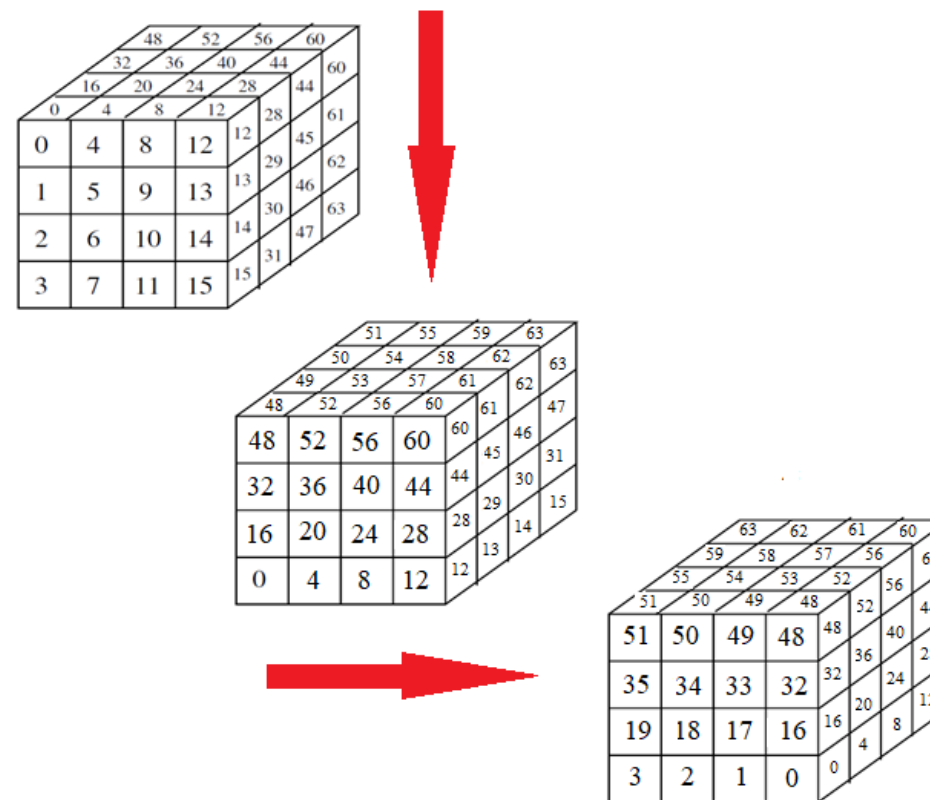


# Квазиинволютивный XSL-алгоритм блочного шифрования «CUBE»

## Линейное преобразование $h_2$

- Линейное преобразование  $h_2$  реализовано перестановкой над вектором  $a$ , визуализировано в виде вращения куба «на себя» и «вправо»:

$$h_2: a \mapsto a^{h_2}.$$



# Построение атаки на основе инвариантных подпространств на редуцированный алгоритм «CUBE»

## Множество собственных значений преобразования $h_2$

- Преобразование  $h_2$  в виде подстановки  $u$  над множеством элементов вектора  $a$ :

$$u = \begin{pmatrix} a_0 \dots a_{63} \\ a_{15} \dots a_{48} \end{pmatrix}.$$

- Циклическое строение  $u$ :  $(a_0, a_{15}, a_{51})(a_1, a_{11}, a_{35})(a_2, a_7, a_{19})(a_4, a_{31}, a_{50}) \dots (a_3)(a_{22})(a_{41})(a_{60}),$

20 циклов по 3 элемента и 4 цикла по 1 элементу.

$2^{(20+4)} = 2^{24}$  векторов для множества собственных значений относительно линейного преобразования  $h_2$ .

# Построение атаки на основе инвариантных подпространств на редуцированный алгоритм «CUBE»

## Инвариантное подпространство линейного преобразования $h_2$

- Множество  $W$ ,  $W \subset V_n$ , назовём инвариантным относительно линейного преобразования  $h_2$ , если  $W^{h_2} = W$ . Тогда существует 7-мерное инвариантное подпространство для преобразования  $h_2$ :

$$W = \{(abc)(abc)(abc) \dots (d)(e)(f)(g) \mid a, b, c, d, e, f, g \in GF(2)\},$$

$$W = \{aaadaaabaabaabccc \dots gbbb \mid a, b, c, d, e, f, g \in GF(2)\}.$$

$$W = \left( \begin{array}{cccc} aaaa & caaa & ccaa & cccg \\ aaaa & caaa & ccfb & cccb \\ aaaa & cebb & ccbb & ccbb \\ dbbb & cbbb & cbbb & cbbb \end{array} \right)$$

## Построение атаки на основе инвариантных подпространств на редуцированный алгоритм «CUBE»

- Композиция  $\tilde{h}_1$  переводит  $W$  в смежный класс  $W \oplus \Theta$ ,  $W^{h_2} = W$ . Если  $k^{(i)} \in W \oplus \Theta$ , то справедливо:

$$(W)^{v_{k^{(i)}} \tilde{h}} = W.$$

- Утверждение 1.** Существуют  $k^{(0)}$  и  $k^{(1)}$  такие, что  $k^{(0)}, k^{(1)} \in W \oplus \Theta$  и справедливо равенство:

$$(W)^{v_{k^{(0)}} \tilde{h} v_{k^{(1)}} \tilde{h}} = W.$$

- Тогда трехраундовая версия алгоритма подвержена атаке [3] по инвариантным подпространствам, а класс ключей  $K = k^{(1)} || k^{(0)}$  будет «потенциально слабым».
- Все блоки открытого текста, принадлежащие  $W$  через 2 раунда переходят только в блоки из множества  $W$ , а после 3 раунда (отбеливание) переходят в  $\Theta \oplus (W \oplus \Theta) * A \oplus c_2$ :

$$(W)^{v_{k^{(0)}} \tilde{h} v_{k^{(1)}} \tilde{h} v_{k^{(2)}}} = \Theta \oplus (W \oplus \Theta) * A \oplus c_2.$$

## Построение атаки на основе инвариантных подпространств на редуцированный алгоритм «CUBE»

- Из алгоритма развертывания раундовых ключей следует существование  $|W|^2$  возможных значений  $k^{(0)}$  и  $k^{(1)}$  таких, что  $k^{(1)}, k^{(2)} \in W \oplus \theta$ .
- Так как  $k^{(2)} = k^{(1)} * A \oplus k^{(0)} \oplus c_2$ ,  $k^{(1)}, k^{(2)} \in W \oplus \theta$ , то  $k^{(0)} \in \theta \oplus (W \oplus \theta) * A \oplus c_2$ , а  $k^{(3)} \in W \oplus \theta \oplus (W \oplus \theta) * A \oplus c_3$ , где  $c$  - константа.
- Отсюда следует, что все блоки открытого текста из класса  $W \oplus (W \oplus \theta) * A \oplus c_2$  через 3 раунда переходят только в блоки из множества  $W$ , а после 4 раунда (отбеливание) переходят в  $\theta \oplus (W \oplus \theta) * A \oplus c_3$ :
- $(W \oplus (W \oplus \theta) * A \oplus c_2)^{v_{k^{(0)}} \tilde{sh}} = W$ ;
- $(W)^{v_{k^{(1)}} \tilde{sh} v_{k^{(2)}} \tilde{sh}} = W$ ;
- $(W)^{v_{k^{(3)}}} = \theta \oplus (W \oplus \theta) * A \oplus c_3$ .

$$(W \oplus (W \oplus \theta) * A \oplus c_2)^{v_{k^{(0)}} \tilde{sh} v_{k^{(1)}} \tilde{sh} v_{k^{(2)}} \tilde{sh} v_{k^{(3)}}} = \theta \oplus (W \oplus \theta) * A \oplus c_3$$

## Построение атаки на основе инвариантных подпространств на редуцированный алгоритм «CUBE»

- В ходе исследования был предложен алгоритм идентификации слабых ключей на редуцированный алгоритм «CUBE» в 4 раунда:

**Вход:** Множество  $\mathbf{B} = (a^{g_{k^{(0)}, \dots, k^{(3)}}} \mid a \in W \oplus (W \oplus \Theta) * A \oplus c_2)$ .

**Выход:** информация о принадлежности ключа  $K$  к классу слабых ключей.

- Для фиксированного  $b_i$  опробовать  $(b_i \oplus k^{(3)})$ ,  $k^{(3)} \in \Theta \oplus (W \oplus \Theta) * A \oplus c_3$ .
- Для опробуемого  $(b_i \oplus k^{(3)})$  проверить:  

$$(b_i \oplus k^{(3)}) \in W.$$
- Если  $(b_i \oplus k^{(3)})$  не принадлежит множеству  $W$ , то ключ  $K$  не является слабым.

- Таким образом, трудоемкость алгоритма можно оценить как  $|W|^2$  операций сложения по модулю 2, число слабых ключей  $|W|^2$ .



## Результаты работы

- Исследовано линейное преобразование алгоритма блочного шифрования на основе 3D подхода «CUBE» с 64-битным информационным блоком. Найдено инвариантное подпространство  $W$ ,  $|W| = 2^7$ .
- На основе найденного инвариантного подпространства построена атака на 4-х раундовую версию алгоритма, обнаружен класс потенциально слабых ключей  $K$ ,  $|K| = |W|^2$ .
- Предложен алгоритм идентификации слабых ключей для фиксированных пар открытый текст – шифртекст, трудоемкость алгоритма  $2^{14}$  операций сложения по модулю 2. Алгоритм эффективнее опробования ключей из класса слабых.
- Программно реализован алгоритм шифрования «CUBE», а также его 4-х раундовая версия. На практике проверен алгоритм идентификации слабых ключей. Все промежуточные значения информационного блока принадлежат множеству  $W$ .

Спасибо за внимание!

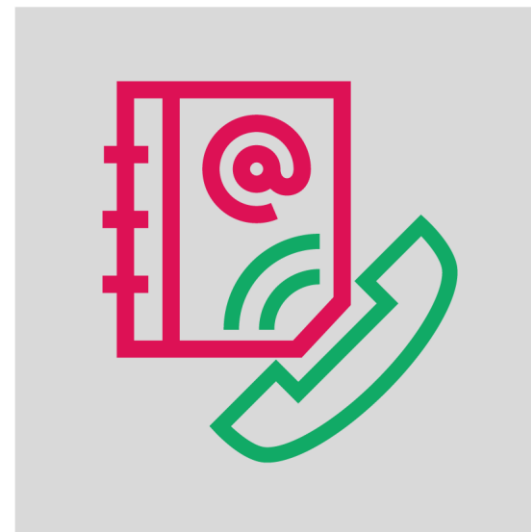
# Контактная информация

Электронная почта:

nikitakonovalov2013@yandex.ru

Телефон:

+7-987-555-14-97



1. Berger T.P., Francq J., Minier M. (2015) CUBE Cipher: A Family of Quasi-Involutive Block Ciphers Easy to Mask. In: El Hajji S., Nitaj A., Carlet C., Soudi E. (eds) Codes, Cryptology, and Information Security. C2SI 2015 Lecture Notes in Computer Science, vol 9084 Springer, Cham.
2. Nakahara Jr. J. 3D: a three-dimensional block cipher / Jr. J. Nakahara // CANS 2008 Lect. Notes Comp. Sei. - 2008 - V. 5339 - P. 252-267
3. D. A. Burov, B. A. Pogorelov, “An attack on 6 rounds of Khazad”, Матем. вопр. криптогр., 7:2 (2016), 35–46